

# Benchmark 2018: Operação eficiente de bombagem

## Minimização dos custos de bombagem de uma estação elevatória

A. Andrade-Campos, J. Dias-de-Oliveira

Submetido: 24/10/2018

**Resumo** Um problema de minimização dos custos de bombagem de um subsistema de abastecimento de água é apresentado para que seja solucionado recorrendo a técnicas de otimização não-linear. Pretende-se encontrar a operação de bombagem mais eficiente respeitando os consumos de água necessários e os níveis limite do depósito. O desafio deste *benchmark* consiste em resolver este problema da forma mais eficiente e precisa do ponto de vista da otimização. Os resultados do problema devem incluir uma análise da evolução iterativa das variáveis de decisão, das funções objetivo e das restrições. Devem ser discutidas as variáveis de decisão e as técnicas de otimização utilizadas.

**Palavras-Chave** Eficiência de operações de bombagem · Minimização de custos · Otimização não-linear com restrições · *Benchmark*

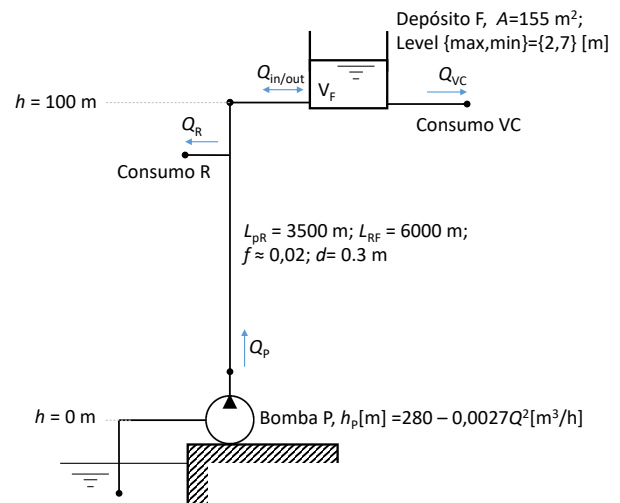
### 1 Introdução

Hoje em dia, todos os sistemas de engenharia devem ser eficientes quer energeticamente quer economicamente. Os sistemas de bombagem, particularmente as estações elevatórias de sistemas de abastecimento de água, devem ser geridos de forma a reduzir os custos energéticos. Para isso, e com auxílio de depósitos, as bombas devem ser operadas nos ciclos/tarifários cujo custo energético é menor. Porém, a dimensão dos depósitos e a capacidade de bombagem não permitem que a totalidade de água necessária para os consumidores seja bombeada no período mais económico. Assim, é necessário um planeamento otimizado das operações de bombagem tendo

em conta (i) as dimensões do depósito, (ii) as necessidades de água dos consumidores e (iii) as capacidades de bombagem. Este planeamento deve conduzir ao menor custo possível da energia de bombagem.

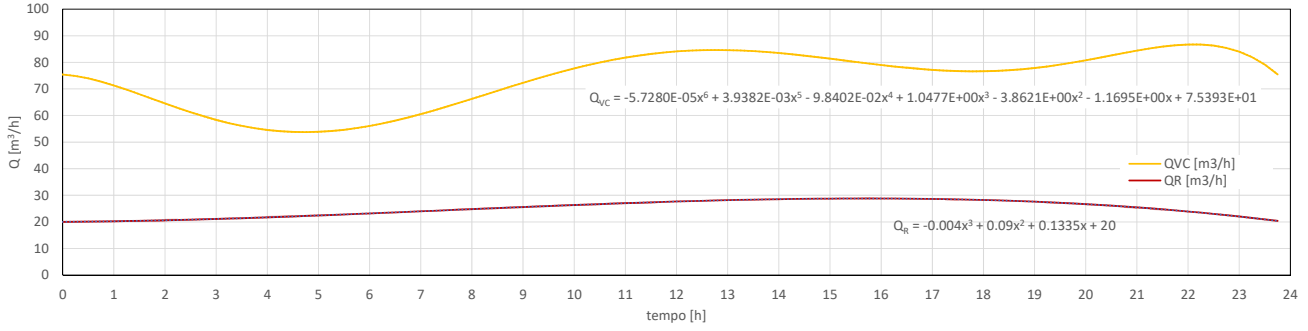
### 2 Caso de estudo: subsistema F

Pretende-se minimizar o custo de bombagem de um subsistema de abastecimento que é composto por um depósito F, uma bomba P e os pontos de consumo VC e R, como mostra a figura 1.



**Figura 1.** Subsistema de abastecimento de água. Pretende-se conhecer a operação de bombagem mais eficiente para o período de um dia.

O depósito F é um reservatório que está a uma cota  $h$  de 100 m, tem 155 m<sup>2</sup> de área  $A$  e uma altura de  $h = 9$  m. Porém, por razões de segurança, este só



**Figura 2.** Consumos diários em  $\text{m}^3/\text{h}$  para as regiões VC e R. Os consumos são definidos pelos polinómios  $Q_{VC} = -5.7280 \times 10^{-5}t^6 + 3.9382 \times 10^{-3}t^5 - 9.8402 \times 10^{-2}t^4 + 1.0477t^3 - 3.8621t^2 - 1.1695t + 75.393$  e  $Q_R = -0.004t^3 + 0.09t^2 + 0.1335t + 20$  [h].

pode operar entre os níveis 2 e 7 m e, no início do dia, encontra-se com um nível de 4 m. O reservatório/depósito F abastece os consumidores da região VC. Também abastece os consumidores da região R quando a bomba não está em funcionamento, utilizando o ramal RF como retorno. A bomba, de 75% de eficiência e curva hidráulica  $h_P[\text{m}] = 280 - 0,0027Q_P^2$ , está à cota de 0 m e é responsável por enviar água para o reservatório F e para os consumidores R. O caudal está em  $\text{m}^3/\text{h}$ . As condutas são em ferro fundido, com um fator de atrito de Fanning igual a  $f = 0,02$ , têm o comprimento  $L_{PR} = 3,5$  e  $L_{RF} = 6$  km entre a bomba e o consumo R, e entre o consumo R e o reservatório F, respectivamente. Os consumos diários das regiões VC e R foram previstos e encontram-se representados na figura 2. O custo da energia (tarifário) varia ao longo do dia, como está listado na tabela 1.

**Tabela 1.** Tarifário energético ao longo do dia.

Intervalo [h]	Periodo horário	Custo [€/kWh]
[0, 2[	Vazio	0,0737
[2, 6[	Super vazio	0,06618
[6, 7[	Vazio	0,0737
[7, 9[	Cheia	0,10094
[9, 12[	Ponta	0,18581
[12, 24[	Cheia	0,10094

### 3 Formulação do sistema hidráulico

De acordo com a figura 1, as equações de balanço mássico (continuidade) no reservatório F e na conduta PR podem ser escritas respetivamente como

$$\frac{dV_F}{dt} = Q_{\text{in/out}} - Q_{VC} \quad \text{e} \quad Q_P = Q_R + Q_{\text{in/out}}. \quad (1)$$

Estas podem ser agregadas na seguinte equação:

$$A_F \frac{dh_F}{dt} = Q_P - Q_R - Q_{VC}, \quad (2)$$

onde  $h_F$  e  $A_F$  são a altura e área do reservatório F, respetivamente. A condição de equilíbrio energético na operação da bomba é dada por

$$h_P - h_{\text{perdas PR}} - h_{\text{perdas RF}} = h_F + h_{\text{cota F}}, \quad (3)$$

onde  $h_{\text{cota F}} = 100$  m é a cota do depósito F. Sabendo que a bomba e as perdas de carga regem-se respetivamente pelas seguintes equações hidráulicas

$$h_P = a_1 + a_2 Q_P^2 = 280 - 0,0027 Q_P^2, \quad (4)$$

$$h_{\text{perdas}} = \frac{32fL}{d^5 g \pi^2} Q^2, \quad (5)$$

então a equação toma a forma

$$a Q_P^2 + b Q_P + (c - h_F) = 0, \quad (6)$$

com

$$a = a_2 - \gamma L_{PR} - \gamma L_{RF} \quad (7)$$

$$b = 2\gamma L_{RF} Q_R \quad (8)$$

$$c = a_1 - h_{\text{cota F}} - \gamma L_{RF} Q_R^2 \quad (9)$$

$$\gamma = \frac{32f}{g \pi^2 d^5}. \quad (10)$$

As equações 2 e 6 estão interligadas porque  $Q_P$  depende de  $h_F$  que, por sua vez, evolui com  $Q_P$ . A equação 6 é válida para qualquer instante  $t$ . Para cálculos médios num período de tempo  $\Delta t$ ,  $Q_R$  e  $h_F$  podem ser substituídos pelos caudal médio  $\bar{Q}_R$  e nível médio  $\bar{h}_F$  desse período.

### 4 Formulação do problema de otimização

O objetivo é encontrar a operação da bomba que minimize o custo de bombagem. Para o caso de uma bomba

hidráulica simples (sem variador de velocidade), a operação de bombagem resume-se a encontrar os períodos de atividade da bomba. Assim, as variáveis de decisão  $\mathbf{x}$  podem tomar as seguintes configurações:

1. Variável contínua  $\mathbf{x} \in [0,1]$  que representa a fração de tempo de funcionamento da bomba num período de tempo  $\Delta t \in [0, 24]$  h;
2. Variável binária  $\mathbf{x} \in \{0,1\}$  que representa o estado da bomba (*on/off*) num intervalo de tempo  $\Delta t \in [0, 24]$  h.

O custo de operação da bomba é função do tarifário energético, da potência total  $\dot{W}_P$  e da eficiência  $\eta$  da bomba, e do estado ou tempo de operação da bomba. Este custo pode ser formulado para um dia de operação como

$$C(\mathbf{x}) = \int_0^{24\text{h}} \frac{\dot{W}_P(Q, h)}{\eta} x(t) \text{Tarif}(t) dt. \quad (11)$$

Sabendo que  $\dot{W}_P = \rho g Q_P h_P$  e que a bomba obedece à equação hidráulica  $h_P = a_1 + a_2 Q_P^2$ , o custo de operação pode ser escrito para uma soma discreta de  $n_{\text{inc.t}}$  períodos de tempo que perfazem as 24 h da seguinte forma:

$$C(\mathbf{x}) = \sum_{i=1}^{n_{\text{inc.t}}} \frac{\rho g}{\eta} (a_1 \bar{Q}_{P,i} + a_2 \bar{Q}_{P,i}^3) x_i \text{Tarif}_i, \quad (12)$$

onde  $\bar{Q}_{P,i}$ ,  $\text{Tarif}_i$  e  $x_i$  são o caudal médio da bomba P, o custo da energia e o estado/tempo da bomba no período de tempo  $i$ , respetivamente. Note-se que a dependência do caudal  $\bar{Q}_P$  pela variável de decisão  $\mathbf{x}$  pode ser desprezada<sup>1</sup>.

Para além das restrições do universo das variáveis, as restrições do problema resumem-se à limitação das alturas do depósito:

$$2 \leq h_F \leq 7. \quad (13)$$

Porém, estas restrições devem ser satisfeitas para todos os períodos de tempo ao longo do dia. Para um qualquer intervalo de tempo  $i$ , com  $i = 1, \dots, n_{\text{inc.t}}$ ,

$$g_i = \begin{bmatrix} g_{1,i} \\ g_{2,i} \end{bmatrix} = \begin{bmatrix} 2 - h_{F,i} \\ h_{F,i} - 7 \end{bmatrix} \leq \begin{bmatrix} 0 \\ 0 \end{bmatrix} \quad (14)$$

Integrando a equação 2 para um período de tempo genérico  $i$  de duração  $\Delta t_i$ , a altura do depósito F no final do incremento é dada por

$$h_{F,i}(x_i) = h_{F,i-1}(x_{i-1}) + \frac{1}{A_F} (x_i \bar{Q}_{P,i} \Delta t_i - \beta), \quad (15)$$

<sup>1</sup>  $\bar{Q}_{P,i}$  não depende diretamente de  $x_i$ . Porém, pela equação 6,  $\bar{Q}_{P,i}$  é função de  $\bar{h}_F$  e, por sua vez,  $\bar{h}_F = \frac{1}{2}(h_{F,i} + h_{F,i-1})$  é função de  $x_i$ , como indica a equação 15. Logo, o rigor matemático leva a  $\bar{Q}_{P,i} = \bar{Q}_{P,i}(\bar{h}_F(h_F(x_i)))$ .

onde  $\beta = \int_{t_{i-1}}^{t_i} Q_{VC} dt + \int_{t_{i-1}}^{t_i} Q_R dt$ . Assim, o problema pode ser formulado classicamente como:

*Procurar o estado/tempo  $\mathbf{x}$  de operação da bomba P de forma a*

$$\text{minimizar } C(\mathbf{x}) \quad (16)$$

$$\text{sujeito a } g_i \leq 0, \quad i = 1, \dots, n_{\text{inc.t}} \quad (17)$$

## 5 Análise de sensibilidade

A sensibilidade das funções objetivo e das funções restrição podem ser calculadas por métodos aproximados como, por exemplo, o método das diferenças finitas. Porém, tendo em conta que as funções objetivo e de restrição podem ser escritas analiticamente, as sensibilidades podem ser encontradas através das suas derivadas. Assim, a derivada da função objetivo  $C$  para a variável de decisão  $\alpha$  é dada por

$$\frac{\partial C}{\partial x_\alpha}(\mathbf{x}) = \frac{\rho g}{\eta} (a_1 \bar{Q}_{P,\alpha} + a_2 \bar{Q}_{P,\alpha}^3) \text{Tarif}_\alpha. \quad (18)$$

Similarmente, as derivadas para as restrições de desigualdade de limite inferior e superior podem ser escritas de forma algébrica como<sup>2</sup>

$$\frac{\partial g_i}{\partial x_\alpha}(\mathbf{x}) = \begin{bmatrix} 0 \\ 0 \end{bmatrix} \quad \text{para } i < \alpha, \quad (21)$$

$$\frac{\partial g_i}{\partial x_\alpha}(\mathbf{x}) = \begin{bmatrix} -\bar{Q}_{P,\alpha} \Delta t_\alpha / A_F \\ \bar{Q}_{P,\alpha} \Delta t_\alpha / A_F \end{bmatrix} \quad \text{para } i \geq \alpha. \quad (22)$$

## 6 Avaliação numérica das funções objetivo/restrições - Programação

O seguinte código em python foi criado de forma a avaliar quer a função objetivo quer as restrições de forma automática. Este também avalia as sensibilidades pelas expressões na secção 5.

<sup>2</sup> Caso a dependência do caudal com a variável  $\mathbf{x}$  não seja desprezada, a equação 15 pode ser derivada implicitamente. Para isso, e pela equação 6,

$$\bar{Q}_{P,i} = \frac{-b - \sqrt{b^2 - 4a(c - \bar{h}_F)}}{2a} \quad (19)$$

será substituído na equação 15. A diferenciação implícita leva a que

$$\frac{\partial h_F}{\partial x_i} = \frac{\Delta t \bar{Q}_{P,i}}{A_F + \frac{1}{2} x_i \Delta t [b^2 - 4a(c - \bar{h}_F)]^{-\frac{1}{2}}}. \quad (20)$$

```

1 import numpy as np;
2 import math
3 import matplotlib.pyplot as plt
4
5 def Benchmark2018(nInc, x, iChart):
6     # definição dos dicionários
7     empty_timeInc = {
8         'number': None,
9         'startTime': None, 'duration': None, 'endTime': None,
10        'hFin': None, 'hFfin': None, };
11    fObjRest = {'fObj': None, 'g1': [], 'g2': []};
12    Sensibil = {'dCdx': [], 'dg1dx': [[0 for j in range(nInc)] for i in range(nInc)],
13               'dg2dx': [[0 for j in range(nInc)] for i in range(nInc)]};
14
15    # Definição de funções do programa
16    def Caudal_VC(ti, tf):
17        # definição do polinômio
18        a6 = -5.72800E-05; a5 = 3.9382E-03; a4 = -9.8402E-02
19        a3 = 1.0477; a2 = -3.8621; a1 = -1.1695; a0 = 7.53930E+01
20        QVC = a6/7.*(tf**7.-ti**7.)+a5/6.*(tf**6.-ti**6.)+a4/5.*(tf**5.-ti**5.)
21              + a3/4.*(tf**4.-ti**4.)+a2/3.*(tf**3.-ti**3.)
22              + a1/2.*(tf**2.-ti**2.)+a0*(tf-ti)
23        return QVC
24
25    def Caudal_R(ti, tf):
26        # definição do polinômio
27        a3 = -0.004; a2 = 0.09; a1 = 0.1335; a0 = 20.0
28        QR = a3/4.*(tf**4.-ti**4.)+a2/3.*(tf**3.-ti**3.)
29              +a1/2.*(tf**2.-ti**2.)+a0*(tf-ti)
30        return QR
31
32    def tarifario(ti):
33        # definição do tarifário usando o tempo inicial do incremento
34        tarifHora = [None]*7; tarifCusto = [None]*7;
35        set(tarifHora)
36        tarifHora[0]= 0; tarifCusto[0]= 0.0737
37        tarifHora[1]=2; tarifCusto[1]= 0.06618
38        tarifHora[2]=6; tarifCusto[2]= 0.0737
39        tarifHora[3]=7; tarifCusto[3]= 0.10094
40        tarifHora[4]=9; tarifCusto[4]= 0.18581
41        tarifHora[5]=12; tarifCusto[5]= 0.10094
42        tarifHora[6]=24; tarifCusto[6]= 0.10094
43        tarifF = 0.
44        for i in range(0, 6):
45            if (ti >= tarifHora[i]) & (ti < tarifHora[i+1]):
46                tarif = tarifCusto[i]
47                break
48            if tarifF == 0.: print("Erro_no_tarifário",ti,i); quit()
49        return tarifF
50
51    # Dados gerais
52    g = 9.81; densidade = 1000.0
53    hmin = 2.0; hmax = 7.0; hFixo = 100.0
54    AF = 155.0; V0 = 620.0; hF0 = 4.; deltahF = 0.
55    LPR = 3500; LRF = 6000
56    f = 0.02; d = 0.3
57    # Dados da bomba
58    a1 = 280.; a2 = -0.0027; etaP = 0.75
59    # variáveis constantes
60    f32gpi2d5 = 32.0*f/(g*math.pi**2.0*d**5.)
61    aRes = (a2*3600.**2.) - f32gpi2d5*LPR - f32gpi2d5*LRF
62
63    # Inicialização dos vetores
64    timeInc = []; CustoT = 0.;
65    for i in range(0, nInc):
66        # definição dos incrementos de tempo
67        timeInc.append(empty_timeInc.copy());
68        timeInc[i]['number'] = i + 1;
69        if i==0:
70            timeInc[i]['startTime'] = 0.
71            hF = hF0; timeInc[i]['hFin'] = hF
72        else:
73            timeInc[i]['startTime'] = timeInc[i-1]['endTime']
74            timeInc[i]['hFin'] = timeInc[i-1]['hFfin']
75        timeInc[i]['duration'] = 24./nInc;
76        timeInc[i]['endTime'] = timeInc[i]['startTime']+timeInc[i]['duration'];
77        #
78        # Cálculo dos volumes bombeados no incremento i
79        QVC = Caudal_VC(timeInc[i]['startTime'], timeInc[i]['endTime'])
80        QR = Caudal_R(timeInc[i]['startTime'], timeInc[i]['endTime']);
81        QRmed= QR/timeInc[i]['duration']

```

```

82 #
83 # Ciclo iterativo de convergência (com tolerância=1.E-5)
84 iter = 1; hFini = hF; hFmed = hF; deltahFold = 0.; tol = 1.E-6; maxIter = 8
85 bRes = 2.*f32gpi2d5*LRF*QRmed/3600.
86 while iter < maxIter:
87     cRes = a1-hFixo -f32gpi2d5*LRF*(QRmed/3600)**2. - hFmed
88     Qp = (-bRes -math.sqrt(bRes**2 - 4.*aRes*cRes))/(2.*aRes) * 3600.
89     deltahFn = (Qp*x[i]*timeInc[i][ 'duration' ]-QVC-QR)/AF
90     hF = hFini + deltahFn; hFmed = hFini + deltahFn/2.;
91     if math.fabs(deltahFn-deltahFold) > tol: deltahFold = deltahFn;
92     else: break
93     iter += 1
94     timeInc[i][ 'hFfin' ]= hF
95 #
96 # Cálculo da energia utilizada
97 WP = g*densidade/etaP*Qp/3600*(a1+a2*Qp**2.) # in W
98 tarifInc = tarifario(timeInc[i][ 'startTime' ])*timeInc[i][ 'duration' ]/1000. # in Euro/W
99 Custo = x[i]*WP*tarifInc
100 CustoT += Custo
101 fObjRest[ 'g1' ].append(hmin - hF); fObjRest[ 'g2' ].append(hF - hmax);
102
103 # Cálculo de sensibilidades (aproximadas, pois consideram que Qp é independente de x)
104 Sensibil[ 'dCdx' ].append(WP*tarifInc);
105 dgP=Qp*timeInc[i][ 'duration' ]/AF
106 #dgP=Qp*timeInc[i][ 'duration' ]/(AF + 0.5*x[i]*timeInc[i][ 'duration' ]*(bRes**2-4.*aRes*cRes)**(-0.5))
107 #
108 # ciclo para cada dgldx[i][j], onde i=alfa do x; j=inc. e j>=alfa
109 for j in range(i, nInc): Sensibil[ 'dgldx' ][i][j]=-dgP; Sensibil[ 'dg2dx' ][i][j]=dgP;
110 # Guardar valores em Arrays
111 fObjRest[ 'fObj' ]=CustoT;
112
113 # Construção da solução grafica
114 if iChart == 1:
115     x1=[];y1=[];z1=[]
116     for i in range(0,nInc):
117         x1.insert(i,timeInc[i][ 'startTime' ]);
118         y1.insert(i,timeInc[i][ 'hFini' ]);
119         z1.insert(i,10*tarifario(i/(nInc/24)));
120     plt.plot(x1,y1,x1,x[0:nInc],x1,z1);
121     plt.plot(x1,y1);
122     plt.title(' Solução Proposta ,_Custo=%f' % CustoT); plt.xlabel('Tempo_(h) ');
123     plt.ylabel(' Nivel/_status_da_bomba/_ Tarifario_(x10) '); plt.grid();
124     plt.show()
125
126 #print ("end benchmark 2018")
127 return fObjRest, Sensibil;
128
129 # main program (driver)
130 #
131 nInc = 48 #96 #24
132 # Declaração de solução
133 x = [0 for i in range(0, nInc)];
134 for i in range(2, 8): x[i] = 1.;
135 for i in range(15, nInc): x[i] = 0.5;
136 x[20]=1.0;
137
138 fObjRest, Sensibil = Benchmark2018(nInc, x, 1)
139 print("CustoF=",fObjRest[ 'fObj' ], '\n')

```